

УДК 532.5: 533.6

## ПРОСТРАНСТВЕННЫЙ АНАЛОГ ФОРМУЛ СОХОЦКОГО — ПЛЕМЕЛЯ И ЕГО ПРИМЕНЕНИЕ В ТЕОРИИ КРЫЛА

Д. Н. Горелов

Омский филиал Института математики им. С. Л. Соболева СО РАН, 644099 Омск

E-mail: gorelov@ofim.oscsbras.ru

Построено решение гидродинамической задачи о движении идеальной несжимаемой жидкости в вихревом слое конечной толщины. В предельном случае (бесконечно тонкий слой) этот слой переходит в вихревую поверхность. Для предельных значений вектора скорости жидкости при подходе к этой поверхности получены формулы, обобщающие на трехмерное пространство формулы Сохоцкого — Племеля для сингулярного интеграла типа интеграла Коши. На основе этих формул и предложенного способа моделирования крыла конечной толщины замкнутой вихревой поверхностью выведены три интегральных уравнения. Показано, что в случае бесконечно тонкого крыла остается только одно уравнение, соответствующее условию непротекания жидкости через поверхность крыла.

Ключевые слова: формулы Сохоцкого — Племеля, вихревая поверхность, интегральные уравнения, крыло конечного размаха.

В теории функций комплексной переменной, особенно при решении краевых задач, широко используются формулы Сохоцкого — Племеля для предельных значений интеграла типа интеграла Коши, полученные в разное время Ю. В. Сохоцким, И. Племелем и в более общих предположениях И. И. Приваловым [1]. В [2] А. В. Бицадзе получил пространственный аналог формул Сохоцкого — Племеля в векторной форме. Позднее аналогичные формулы получены независимо от [2] в другой форме и другим путем в работе [3]. В настоящей работе представлен в более полном изложении вывод пространственного аналога формул Сохоцкого — Племеля и в качестве приложения этих формул выведены интегральные уравнения для крыла конечной толщины, обтекаемого трехмерным нестационарным потоком идеальной несжимаемой жидкости.

**1. Обобщение формул Сохоцкого — Племеля.** Рассмотрим вихревую поверхность  $S$  и поле скоростей  $\mathbf{v}$ , индуцируемое этой поверхностью. Представим вихревую поверхность в виде бесконечно тонкого вихревого слоя, который можно получить с помощью предельного перехода из вихревого слоя конечной толщины [3].

Пусть в идеальной несжимаемой жидкости между двумя вихревыми поверхностями  $S_+$ ,  $S_-$  находится вихревой слой малой толщины. Предполагается, что вне этого вихревого слоя течение жидкости потенциальное (вектор вихря  $\boldsymbol{\omega} = \text{rot } \mathbf{v} = 0$ ). Введем срединную поверхность  $S$ , выберем на ней точку  $(\xi, \eta, \zeta) \in S$  и свяжем с этой точкой естественную систему координат  $s, n, b$  с координатным базисом  $\mathbf{s}, \mathbf{n}, \mathbf{b}$ , состоящим соответственно из единичных векторов касательной, нормали и бинормали к  $S$  в точке  $(\xi, \eta, \zeta)$  (рис. 1).

В данной системе координат

$$\boldsymbol{\omega} = \omega_s \mathbf{s} + \omega_n \mathbf{n} + \omega_b \mathbf{b}, \quad \mathbf{v} = v_s \mathbf{s} + v_n \mathbf{n} + v_b \mathbf{b}.$$

На границе вихревого слоя (на поверхностях  $S_+$ ,  $S_-$ ) нормальная компонента вектора вихря  $\omega_n$  равна нулю. Предположим, что толщина вихревого слоя  $2\varepsilon$  настолько мала, что

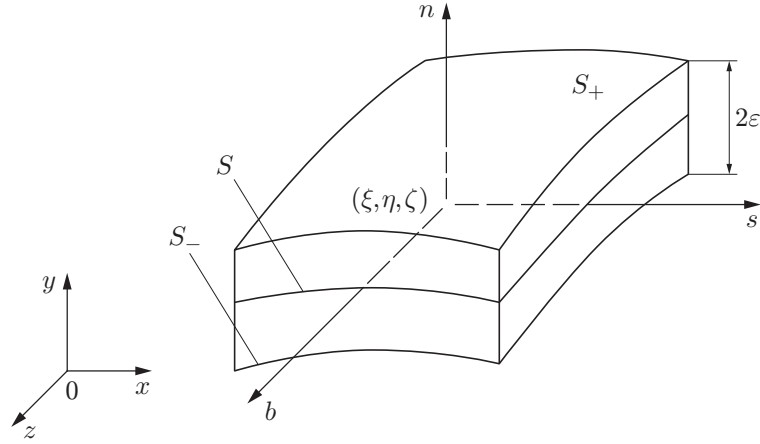


Рис. 1. Моделирование вихревой поверхности:  
 $S_+$ ,  $S_-$  — границы вихревого слоя,  $S$  — осредненная поверхность

вектор вихря  $\boldsymbol{\omega}$  и нормальная составляющая скорости жидкости  $v_n$  не зависят от нее. Эти предположения можно записать в виде

$$\omega_n = 0, \quad \frac{\partial \omega_s}{\partial n} = 0, \quad \frac{\partial \omega_b}{\partial n} = 0, \quad \frac{\partial v_n}{\partial n} = 0, \quad n \in [-\varepsilon, +\varepsilon]. \quad (1)$$

Согласно определению вектора вихря  $\boldsymbol{\omega} = \text{rot } \mathbf{v}$  его компоненты равны

$$\omega_s = \frac{\partial v_b}{\partial n} - \frac{\partial v_n}{\partial b}, \quad \omega_n = \frac{\partial v_s}{\partial b} - \frac{\partial v_b}{\partial s}, \quad \omega_b = \frac{\partial v_n}{\partial s} - \frac{\partial v_s}{\partial n}. \quad (2)$$

Из (1), (2) получаем условия

$$\frac{\partial^2 v_s}{\partial n^2} = 0, \quad \frac{\partial^2 v_b}{\partial n^2} = 0, \quad n \in [-\varepsilon, +\varepsilon],$$

из которых следует, что внутри вихревого слоя производные  $\partial v_s / \partial n$ ,  $\partial v_b / \partial n$  являются функциями только переменных  $s$ ,  $b$ :

$$\frac{\partial v_s}{\partial n} = A_s(s, b), \quad \frac{\partial v_b}{\partial n} = A_b(s, b), \quad n \in [-\varepsilon, +\varepsilon]. \quad (3)$$

Интегрируя выражения (3) и уравнение  $\partial v_n / \partial n = 0$  по координате  $n$ , находим

$$v_s = A_s(s, b)n + C_s(s, b), \quad v_n = C_n(s, b), \quad v_b = A_b(s, b)n + C_b(s, b).$$

Для того чтобы определить функции  $A_s(s, b)$ ,  $\dots$ ,  $C_b(s, b)$ , потребуем выполнения граничных условий  $\mathbf{v} = \mathbf{v}^+$ ,  $\mathbf{v} = \mathbf{v}^-$  при  $n = \pm\varepsilon$ . Тогда

$$\begin{aligned} A_s(s, b) &= \frac{1}{2\varepsilon} (v_s^+ - v_s^-), & C_s(s, b) &= \frac{1}{2} (v_s^+ + v_s^-), & C_n(s, b) &= \frac{1}{2} (v_n^+ + v_n^-), \\ A_b(s, b) &= \frac{1}{2\varepsilon} (v_b^+ - v_b^-), & C_b(s, b) &= \frac{1}{2} (v_b^+ + v_b^-); \\ v_s &= v_{0s} + \frac{n}{2\varepsilon} (v_s^+ - v_s^-), & v_n &= v_{0n}, & v_b &= v_{0b} + \frac{n}{2\varepsilon} (v_b^+ - v_b^-). \end{aligned} \quad (4)$$

Здесь верхние индексы “+”, “-” обозначают предельные значения скорости жидкости  $\mathbf{v}$  на границах вихревого слоя;  $v_{0s}$ ,  $v_{0n}$ ,  $v_{0b}$  — компоненты вектора скорости

$$\mathbf{v}_0 = \frac{1}{2} (\mathbf{v}^+ + \mathbf{v}^-). \quad (5)$$

Подставляя (4) в (2), получаем, что внутри вихревого слоя

$$\omega_s = -\frac{1}{2\varepsilon} [(v_b^- - v_b^+) + O(\varepsilon)], \quad \omega_n = 0, \quad \omega_b = \frac{1}{2\varepsilon} [(v_s^- - v_s^+) + O(\varepsilon)].$$

Нормальная компонента вектора вихря  $\omega_n$  равна нулю вследствие предположения о ее неизменности по высоте вихревого слоя и равенстве нулю на границе.

В случае если толщина вихревого слоя в каждой точке  $(\xi, \eta, \zeta) \in S$  стремится к нулю, получаем вихревую поверхность  $S$ , для которой векторная интенсивность единицы площади  $\boldsymbol{\gamma}$  связана с разрывом вектора скорости жидкости соотношением

$$\boldsymbol{\gamma} = \lim_{\varepsilon \rightarrow 0} (2\varepsilon \boldsymbol{\omega}) = \mathbf{n} \times (\mathbf{v}^+ - \mathbf{v}^-), \quad (6)$$

или

$$\boldsymbol{\gamma} = \gamma_s \mathbf{s} + \gamma_n \mathbf{n} + \gamma_b \mathbf{b}, \quad \gamma_s = v_b^+ - v_b^-, \quad \gamma_n = 0, \quad \gamma_b = v_s^- - v_s^+. \quad (7)$$

Вихревой слой конечной толщины, расположенный в объеме пространства  $V$ , создает вокруг себя поле скоростей, определяемое формулой [4]

$$\mathbf{v} = \frac{1}{4\pi} \operatorname{rot} \int_V \frac{\boldsymbol{\omega}}{r} dV = \frac{1}{4\pi} \int_V \frac{\boldsymbol{\omega} \times \mathbf{r}}{r^3} dV. \quad (8)$$

При выводе выражения (8) учитывается, что  $\boldsymbol{\omega}$  зависит от переменных  $\xi, \eta, \zeta$ , тогда как оператор  $\operatorname{rot}$  действует на функции, зависящие от  $x, y, z$ . С помощью формулы (8) можно определить поле скоростей, индуцируемых вихревой поверхностью  $S$ . Для этого представим элемент объема  $dV$  в виде  $dV = 2\varepsilon dS$  и перейдем к пределу  $\varepsilon \rightarrow 0$  с учетом (6). В результате получим

$$\mathbf{v} = \frac{1}{4\pi} \int_S \frac{\boldsymbol{\gamma} \times \mathbf{r}}{r^3} dS. \quad (9)$$

Согласно [2] выражение (9) является пространственным аналогом интеграла типа интеграла Коши. Из (4)–(7) следует, что предельные значения  $\mathbf{v}^+, \mathbf{v}^-$  вектора скорости жидкости  $\mathbf{v}$ , определяемого по формуле (9), при подходе к верхней  $S_+$  и нижней  $S_-$  сторонам вихревой поверхности  $S$  связаны с вектором интенсивности  $\boldsymbol{\gamma}$  соотношениями

$$\mathbf{v}^+ = \mathbf{v}_0 - \frac{1}{2} \gamma_b \mathbf{s} + \frac{1}{2} \gamma_s \mathbf{b}, \quad \mathbf{v}^- = \mathbf{v}_0 + \frac{1}{2} \gamma_b \mathbf{s} - \frac{1}{2} \gamma_s \mathbf{b}. \quad (10)$$

Выражения (10) являются обобщением на трехмерное пространство формулы Сохоцкого — Племеля для предельных значений интеграла типа интеграла Коши в комплексной плоскости (в работе [2] обобщение формул Сохоцкого — Племеля получено в другом виде). В соответствии с (10) при переходе через вихревую поверхность происходит разрыв касательной и бинормальной составляющих вектора скорости, в то время как его нормальная составляющая остается без изменения. Такими свойствами обладает поверхность тангенциального разрыва.

В частном случае движения жидкости в плоскости  $z = \text{const}$  вихревая поверхность образует вихревой слой  $L$ . Вихревые линии в этом слое направлены вдоль оси  $z$ , и вектор интенсивности  $\boldsymbol{\gamma}(s)$  имеет одну составляющую  $\gamma_z(s) = \gamma(s)$ . Из (9), (10) следует, что вихревой слой  $L$  в точке  $(x, y)$  индуцирует вектор скорости

$$\mathbf{v} = \frac{1}{2\pi} \int_L \frac{\boldsymbol{\gamma} \times \mathbf{r}}{r^2} ds \quad (11)$$

( $r = \sqrt{(x - \xi(s))^2 + (y - \eta(s))^2}$ ). Предельные значения этого вектора определяются с помощью формул

$$\mathbf{v}^+ = \mathbf{v}_0 - \frac{1}{2} \gamma \mathbf{s}, \quad \mathbf{v}^- = \mathbf{v}_0 + \frac{1}{2} \gamma \mathbf{s} \tag{12}$$

$$(\gamma(s) = v_s^- - v_s^+).$$

При переходе из декартовой системы координат в комплексную плоскость  $z = x + iy$  и от вектора скорости  $\mathbf{v}$  к комплексной скорости  $\bar{v}(z) = v_x(x, y) - iv_y(x, y)$  формула (11) принимает вид

$$\bar{v}(z) = \frac{1}{2\pi i} \int_L \frac{\gamma(s) ds}{z - \zeta(s)}, \quad \zeta(s) = \xi(s) + i\eta(s) \in L, \tag{13}$$

а соотношения (12) для предельных значений вектора скорости переходят в формулы Сохоцкого — Племеля [1, 5] для предельных значений интеграла типа интеграла Коши:

$$\bar{v}^+(z) = \bar{v}_0(z) + \frac{1}{2} \gamma(s) e^{-i\theta(z)}, \quad \bar{v}^-(z) = \bar{v}_0(z) - \frac{1}{2} \gamma(s) e^{-i\theta(z)}, \quad z \in L.$$

Здесь  $\theta(z)$  — угол наклона касательной к  $L$ , отсчитываемый от оси  $x$ ;  $\bar{v}_0(z)$  определяется с помощью выражения (13) при  $z \in L$ , в котором соответствующий сингулярный интеграл понимается в смысле главного значения по Коши.

**2. Моделирование крыла вихревой поверхностью.** Полученные формулы могут использоваться для вывода интегральных уравнений в теории крыла конечного размаха, обтекаемого идеальной несжимаемой жидкостью. Однако для этого необходимо предварительно провести моделирование крыла вихревой поверхностью. Такое моделирование широко применяется для решения краевых задач в теории крыла. (Крыло можно моделировать и другой системой особенностей, например источниками, но тогда предельные значения скорости жидкости определяются иначе.)

Суть данного моделирования заключается в том, что крыло заменяется некоторой вихревой поверхностью  $S$ , движущейся в жидкости по тому же закону, что и крыло. Для бесконечно тонкого крыла эта поверхность разомкнута, а для крыла конечной толщины — замкнутая (рис. 2). Определить поле скоростей возле разомкнутой поверхности нетрудно. Однако в случае замкнутой вихревой поверхности ситуация осложняется. При моделировании крыла сплошная среда должна находиться во внутренней области такой поверхности. В качестве такой среды целесообразно выбирать ту жидкость, в которой движется крыло. Эта особенность моделирования крыла конечной толщины обычно не учитывается.

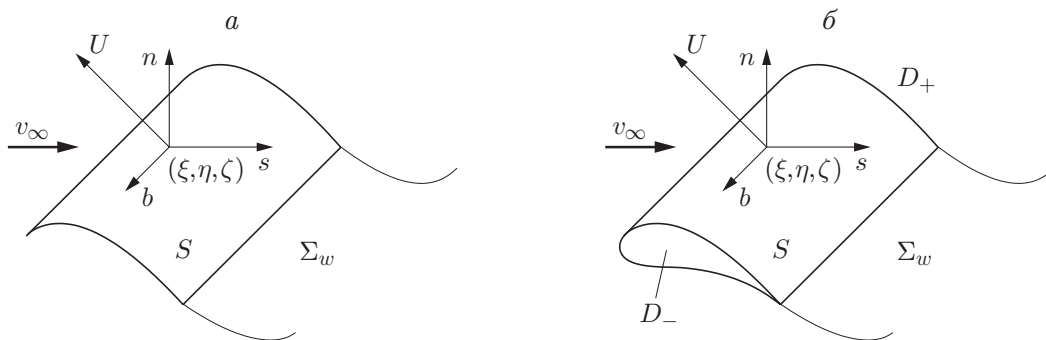


Рис. 2. Моделирование крыла вихревой поверхностью:  
 а — бесконечно тонкое крыло; б — крыло конечной толщины

Рассмотрим условия для предельных скоростей жидкости при подходе к разомкнутой и замкнутой поверхностям. Пусть вихревая поверхность (крыло) движется в неподвижной системе координат  $x, y, z$  со скоростью  $\mathbf{U}(\xi, \eta, \zeta, t)$ ,  $(\xi, \eta, \zeta) \in S$  ( $t$  — время). При подходе к разомкнутой поверхности предельные значения вектора скорости должны удовлетворять условию непротекания жидкости через поверхность крыла

$$\mathbf{v}^- \cdot \mathbf{n} = \mathbf{v}^+ \cdot \mathbf{n} = \mathbf{U} \cdot \mathbf{n}. \quad (14)$$

С учетом (5) условие (14) можно записать в виде

$$\mathbf{v}_0 \cdot \mathbf{n} = \mathbf{U} \cdot \mathbf{n}. \quad (15)$$

Перейдем к рассмотрению замкнутой вихревой поверхности. Обозначим через  $D_+$ ,  $D_-$  области течения жидкости соответственно вне и внутри крыла (рис. 2). Следует отметить, что физический смысл имеет только течение жидкости в области  $D_+$  вне крыла, тогда как жидкость и ее течение в области  $D_-$  являются виртуальными.

Предположим, что виртуальная жидкость внутри замкнутой вихревой поверхности  $S$  движется по тому же закону, что и крыло. Тогда выражение для предельных значений скорости жидкости, которые при подходе к поверхности  $S$  в области  $D_-$  равны скорости движения крыла  $\mathbf{U}$ , можно записать в виде

$$\mathbf{v}^-(\xi, \eta, \zeta, t) = \mathbf{U}(\xi, \eta, \zeta, t), \quad (\xi, \eta, \zeta) \in S. \quad (16)$$

Из (16) следует, что в рассматриваемой модели замкнутой вихревой поверхности жидкость “прилипает” к этой поверхности в области  $D_-$ . Такое поведение идеальной жидкости возможно только в случае виртуального течения жидкости.

С учетом соотношений (10) условие (16) можно записать в виде

$$\mathbf{v}^- = \mathbf{v}_0 + \frac{1}{2} \gamma_b \mathbf{s} - \frac{1}{2} \gamma_s \mathbf{b} = \mathbf{U}. \quad (17)$$

Векторное соотношение (17) эквивалентно трем скалярным соотношениям

$$\mathbf{v}_0 \cdot \mathbf{n} = \mathbf{U} \cdot \mathbf{n}, \quad \mathbf{v}_0 \cdot \mathbf{s} = \mathbf{U} \cdot \mathbf{s} - \frac{1}{2} \gamma_b, \quad \mathbf{v}_0 \cdot \mathbf{b} = \mathbf{U} \cdot \mathbf{b} + \frac{1}{2} \gamma_s. \quad (18)$$

Первое соотношение в (18) совпадает с условием непротекания жидкости через разомкнутую вихревую поверхность (15), тогда как два других имеют место только в случае замкнутой вихревой поверхности. Эти два соотношения появляются в результате применения пространственного аналога формул Сохоцкого — Племеля и рассматриваемого способа моделирования крыла конечной толщины. Заметим, что подобный способ моделирования крыла замкнутой вихревой поверхностью, внутри которой движется жидкость, применялся ранее для плоского потока [6].

**3. Вывод интегральных уравнений для крыла конечного размаха.** Пусть крыло конечного размаха обтекается безграничным потоком идеальной несжимаемой жидкости. Скорость движения потока равна  $\mathbf{v}_\infty$ , а крыло движется со скоростью  $\mathbf{U}$ . В общем случае движение жидкости нестационарное, и с крыла сходит вихревая пелена (на рис. 2 показана лишь часть вихревой пелены  $\Sigma_w$ , сходящая с задней кромки). Вихревую пелену принято моделировать свободной вихревой поверхностью, которая после схода с крыла движется вместе с жидкостью. Вектор скорости  $\mathbf{v}_w$ , индуцируемый свободной поверхностью, определяется по формуле (9), в которой  $S$  заменяется на  $\Sigma_w$ , а  $\gamma$  — на вектор интенсивности вихревой пелены  $\gamma_w$ . Векторное поле скоростей вокруг крыла определяется скоростью набегающего потока  $\mathbf{v}_\infty$  и скоростями, индуцируемыми крылом (вихревой поверхностью  $S$ ) и вихревой пеленой  $\Sigma_w$ . Кроме того, в области течения жидкости могут

находиться другие тела и границы потока, которые создают дополнительное поле скоростей  $\Delta \mathbf{v}$ . В результате для вектора скорости получаем выражение

$$\mathbf{v} = \mathbf{v}_\infty + \Delta \mathbf{v} + \frac{1}{4\pi} \int_S \frac{\boldsymbol{\gamma} \times \mathbf{r}}{r^3} dS + \frac{1}{4\pi} \int_{\Sigma_w} \frac{\boldsymbol{\gamma}_w \times \mathbf{r}}{r^3} d\Sigma_w. \quad (19)$$

Краевая задача может быть сведена к выводу интегральных уравнений, описывающих обтекание крыла рассматриваемым потоком жидкости. Для их вывода используются соотношения (18), полученные в результате применения пространственного аналога формул Сохоцкого — Племеля и способа моделирования крыла конечной толщины замкнутой вихревой поверхностью. При этом вектор  $\mathbf{v}_0$  определяется по формуле (19) для точек крыла  $(x, y, z) \in S$ .

Подставляя (19) в соотношения (18), получаем систему следующих трех интегральных уравнений относительно векторной функции  $\boldsymbol{\gamma}$ :

$$\left( \mathbf{v}_\infty - \mathbf{U} + \Delta \mathbf{v} - \frac{1}{4\pi} \int_S \frac{\boldsymbol{\gamma} \times \mathbf{r}}{r^3} dS + \frac{1}{4\pi} \int_{\Sigma_w} \frac{\boldsymbol{\gamma}_w \times \mathbf{r}}{r^3} d\Sigma_w \right) \cdot \mathbf{n} = 0, \quad (x, y, z) \in S; \quad (20)$$

$$\frac{1}{2} \gamma_b + \left( \mathbf{v}_\infty - \mathbf{U} + \Delta \mathbf{v} + \frac{1}{4\pi} \int_S \frac{\boldsymbol{\gamma} \times \mathbf{r}}{r^3} dS + \frac{1}{4\pi} \int_{\Sigma_w} \frac{\boldsymbol{\gamma}_w \times \mathbf{r}}{r^3} d\Sigma_w \right) \cdot \mathbf{s} = 0; \quad (21)$$

$$-\frac{1}{2} \gamma_s + \left( \mathbf{v}_\infty - \mathbf{U} + \Delta \mathbf{v} + \frac{1}{4\pi} \int_S \frac{\boldsymbol{\gamma} \times \mathbf{r}}{r^3} dS + \frac{1}{4\pi} \int_{\Sigma_w} \frac{\boldsymbol{\gamma}_w \times \mathbf{r}}{r^3} d\Sigma_w \right) \cdot \mathbf{b} = 0. \quad (22)$$

Уравнения (20)–(22) получены для крыла конечной толщины. С помощью этих уравнений накладываются ограничения на нормальные, касательные и бинормальные компоненты вектора скорости жидкости в точках крыла. Уравнение (19), включающее нормальные компоненты, определяет условие непротекания жидкости через крыло, а уравнения (21), (22) являются следствием формул (10) и выбранного способа моделирования крыла конечной толщины.

Для бесконечно тонкого крыла, моделируемого разомкнутой вихревой поверхностью, имеет место только условие непротекания жидкости (14), которое приводит к одному интегральному уравнению (20).

В частности, в случае плоского движения жидкости, когда  $\gamma_n = 0$ ,  $\gamma_s = 0$ ,  $\gamma_b = \gamma$ , из трех уравнений (20)–(22) остаются два интегральных уравнения (20) и (21). При обтекании жидкостью неподвижного профиля ( $\mathbf{U} = 0$ ) в комплексной плоскости для комплексной скорости эти уравнения имеют следующий вид:

$$\operatorname{Im} \left[ e^{i\theta(z)} \left( \bar{v}_\infty + \frac{1}{2\pi i} \int_L \frac{\gamma(\sigma) d\sigma}{z - \zeta(\sigma)} \right) \right] = 0, \quad z \in L; \quad (23)$$

$$\frac{1}{2} \gamma(s) + \operatorname{Re} \left[ e^{i\theta(z)} \left( \bar{v}_\infty + \frac{1}{2\pi i} \int_L \frac{\gamma(\sigma) d\sigma}{z - \zeta(\sigma)} \right) \right] = 0, \quad z \in L. \quad (24)$$

Уравнения (23), (24) применяются для решения плоских краевых задач теории крыла. При этом краевая задача для бесконечно тонкого профиля (дужки) сводится только к уравнению первого рода (23), а для профиля конечной толщины имеют место оба уравнения.

Рассмотрим некоторые вопросы, касающиеся интегральных уравнений (20)–(22). Эти уравнения содержат три неизвестные функции: интенсивности вихревых слоев, моделирующих крыло и вихревую пелену, и уравнение вихревой пелены. Появление вихревой

пелены за крылом конечного размаха вызвано как изменением с течением времени поля скоростей, так и изменением циркуляции скорости вдоль крыла. Вихревая пелена неустойчива и эволюционирует с течением времени. Теоретическое исследование обтекания крыла конечного размаха сводится к решению трехмерных нелинейных начально-краевых задач в областях с неизвестными границами. Постановка таких задач включает, помимо интегральных уравнений, систему нелинейных соотношений, связывающих интенсивности вихрей на крыле и в вихревой пелене, уравнения движения свободных вихрей в пелене, условия схода вихрей с крыла в вихревую пелену. Многие из таких соотношений в теории крыла конечного размаха пока не получены.

#### ЛИТЕРАТУРА

1. **Лаврентьев М. А.** Методы теории функций комплексного переменного / М. А. Лаврентьев, Б. В. Шабат. М.; Л.: Гостехтеоретиздат, 1951.
2. **Бицадзе А. В.** Пространственный аналог интеграла типа Коши и некоторые его приложения // Изв. АН СССР. Сер. мат. 1953. № 6. С. 525–538.
3. **Горелов Д. Н.** Методы решения плоских краевых задач теории крыла. Новосибирск: Изд-во СО РАН, 2000.
4. **Кочин Н. Е.** Теоретическая гидромеханика / Н. Е. Кочин, И. А. Кибель, Н. В. Розе. М.: Физматгиз, 1963. Ч. 1.
5. **Гахов Ф. Д.** Краевые задачи. М.: Физматгиз, 1963.
6. **Горелов Д. Н.** К постановке нелинейной начально-краевой задачи нестационарного отрывного обтекания профиля // ПМТФ. 2007. Т. 48, № 2. С. 48–56.

*Поступила в редакцию 9/XI 2010 г.,  
в окончательном варианте — 8/II 2011 г.*

---